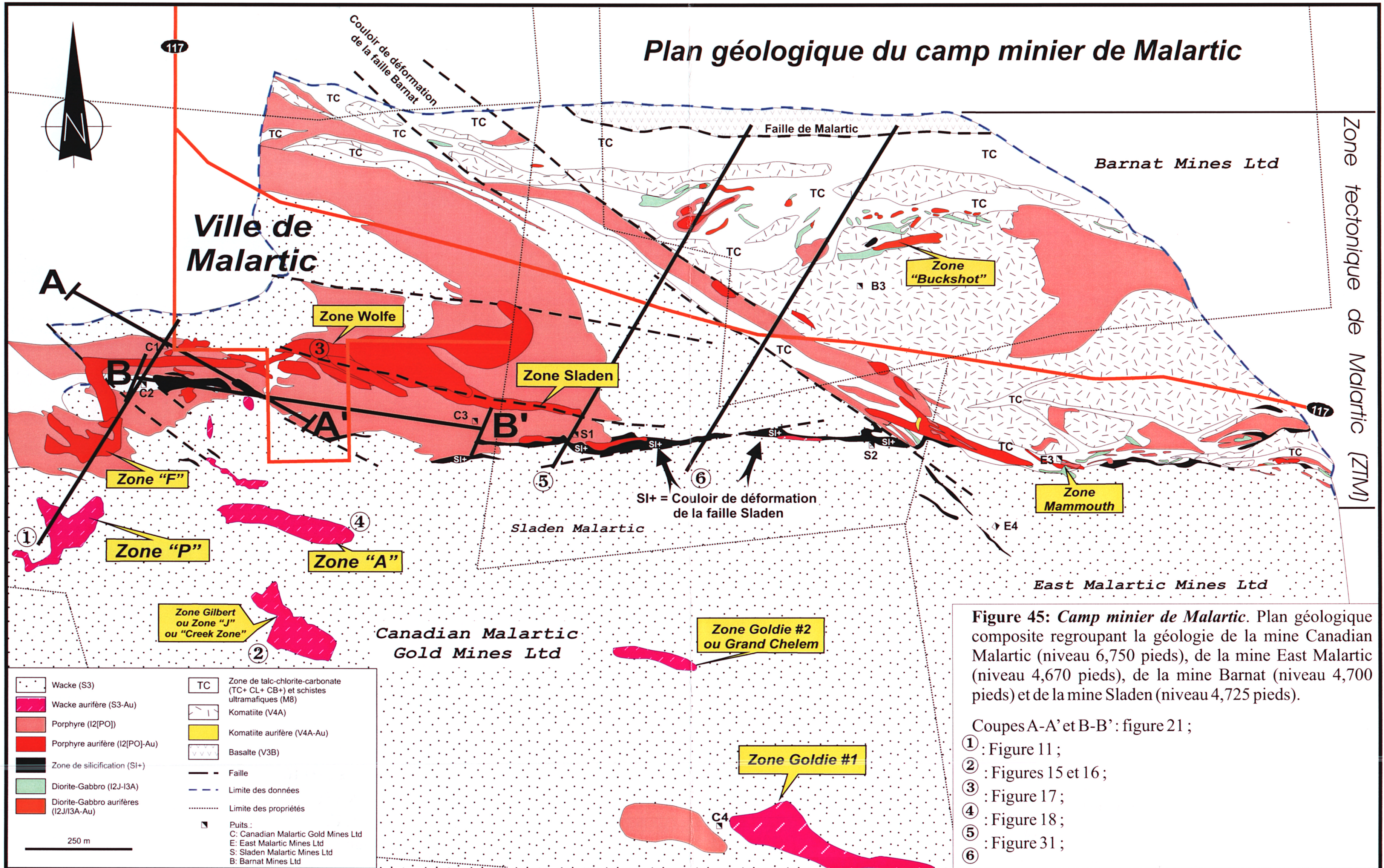


Figure 42: Patron géochimique des altérations du Groupe de Pontiac et du camp minier de Malartic (encadré noir), basé sur notre traitement de 815 analyses avec le logiciel *NORMAT* (Piché, 1999). Le fond coloré de ces trois cartes est en fonction de l'indice de perte au feu régional (IPAF). **A)** Carbonates normatifs versus le IPAF, **B)** Minéraux alcalins normatifs, et **C)** Minéraux alumineux et silicatés normatifs. De plus, les étoiles indiquent la distribution des concentrations aurifères.

Plan géologique du camp minier de Malartic



Zone tectonique de Malartic (ZTM)

Figure 45: Camp minier de Malartic. Plan géologique composite regroupant la géologie de la mine Canadian Malartic (niveau 6,750 pieds), de la mine East Malartic (niveau 4,670 pieds), de la mine Barnat (niveau 4,700 pieds) et de la mine Sladen (niveau 4,725 pieds).

- Coupes A-A' et B-B' : figure 21 ;
- ① : Figure 11 ;
 - ② : Figures 15 et 16 ;
 - ③ : Figure 17 ;
 - ④ : Figure 18 ;
 - ⑤ : Figure 31 ;
 - ⑥

Wacke (S3)	Zone de talc-chlorite-carbonate (TC+ CL+ CB+) et schistes ultramafiques (M8)
Wacke aurifère (S3-Au)	Komatiite (V4A)
Porphyre (I2[PO])	Komatiite aurifère (V4A-Au)
Porphyre aurifère (I2[PO]-Au)	Basalte (V3B)
Zone de silicification (SI+)	Faille
Diorite-Gabbro (I2J-I3A)	Limite des données
Diorite-Gabbro aurifères (I2J/I3A-Au)	Limite des propriétés
	Puits :
	C: Canadian Malartic Gold Mines Ltd
	E: East Malartic Mines Ltd
	S: Sladen Malartic Mines Ltd
	B: Barnat Mines Ltd

250 m